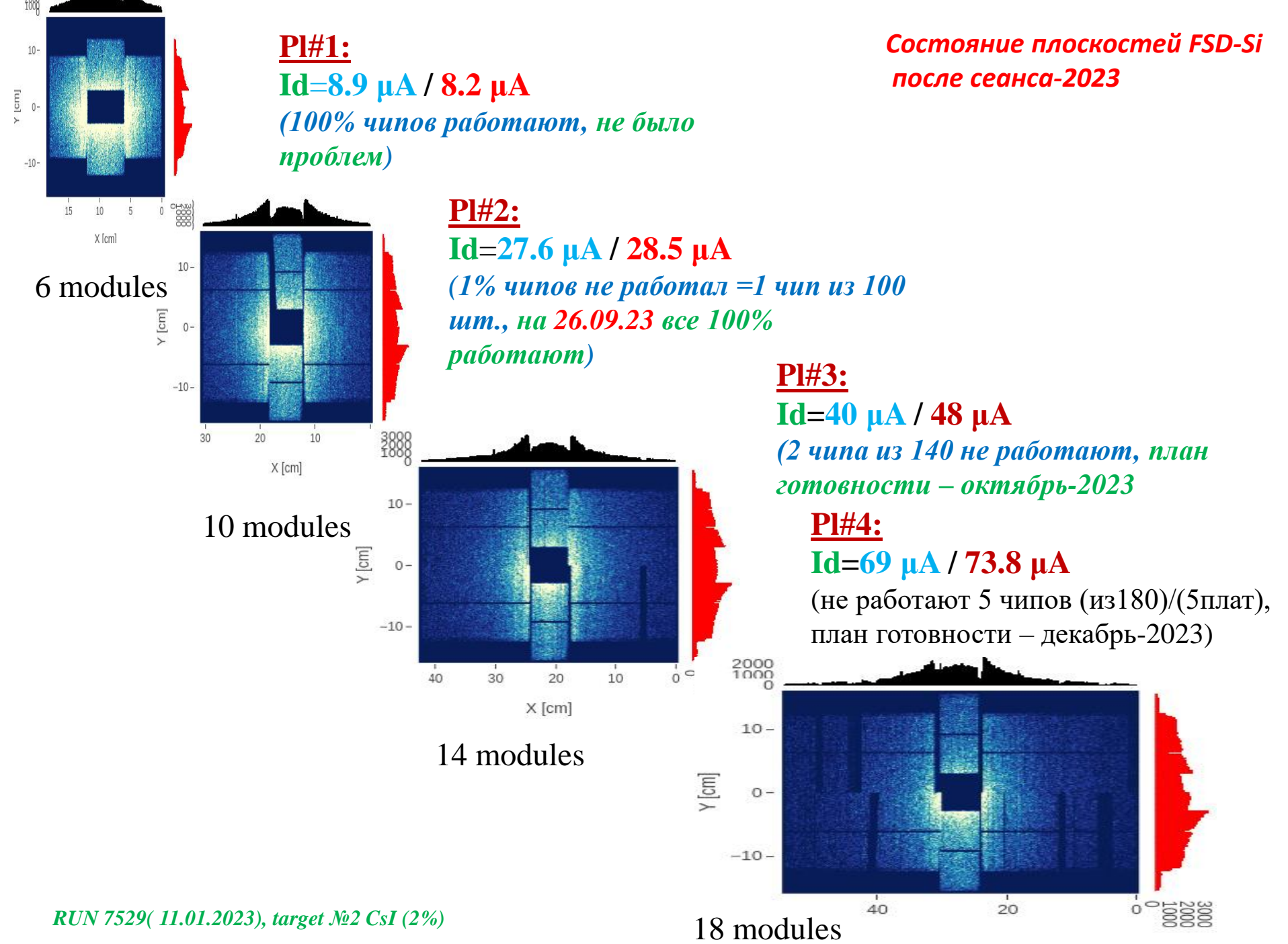


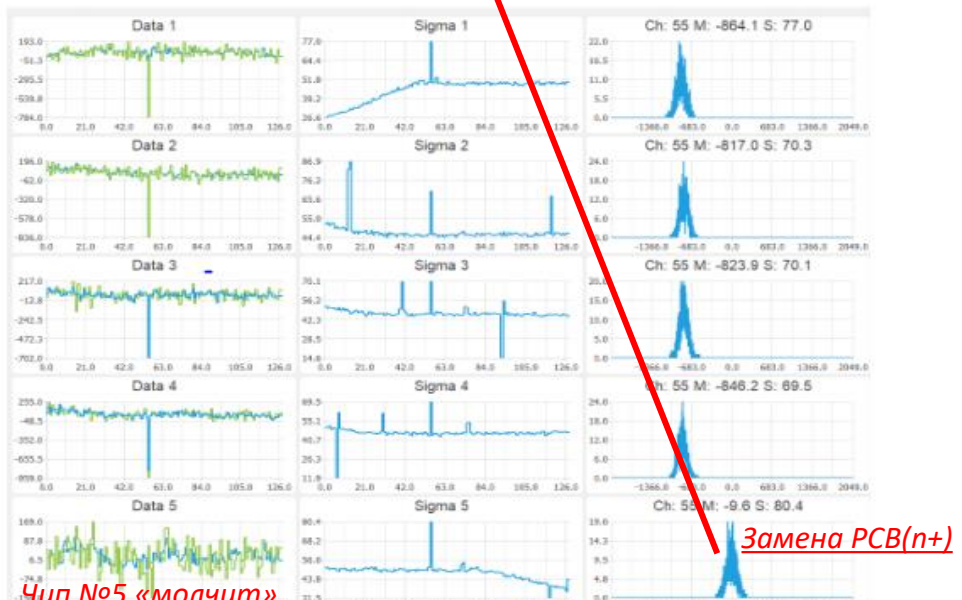
Процесс устранения нечувствительных FEE-каналов в передней части трекера FSD-Si

Состояние на 26.09.2023.

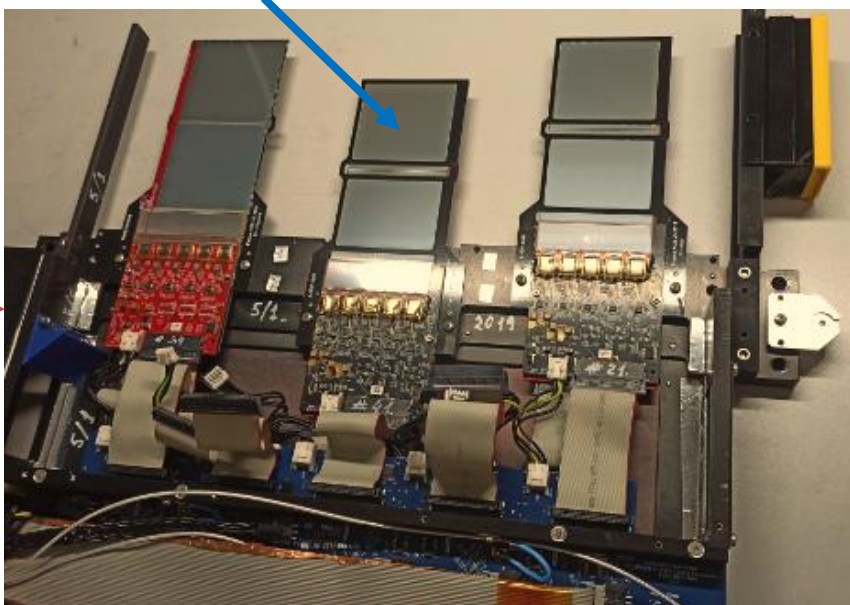
*Совещание по подсистемам БМН,
Замятин Н.И., 26.09.2023*



Ремонт PI#2, август-сентябрь-2023



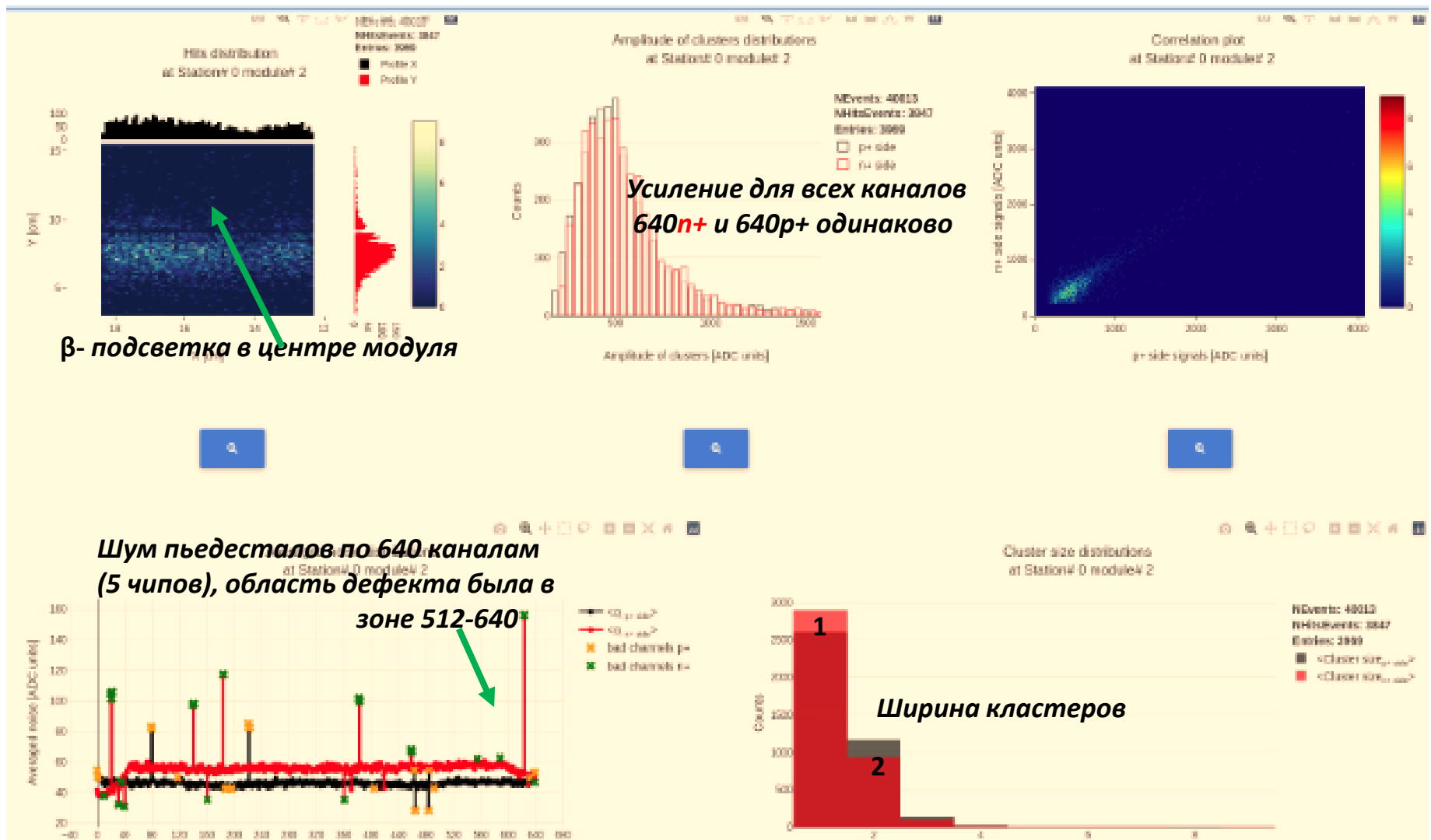
Замена PCB(n+) - монтаж на модуль – УЗС – тесты – монтаж мод.№41 на плоскость №5/1



Сборка на плоскость верхнего ряда четных модулей



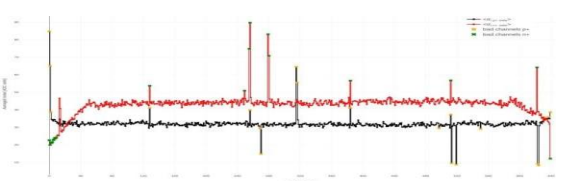
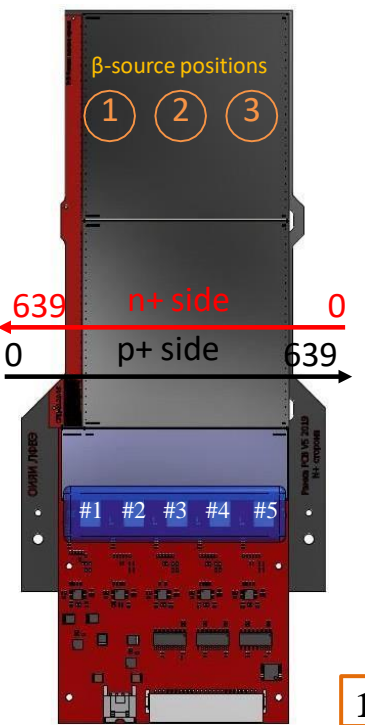
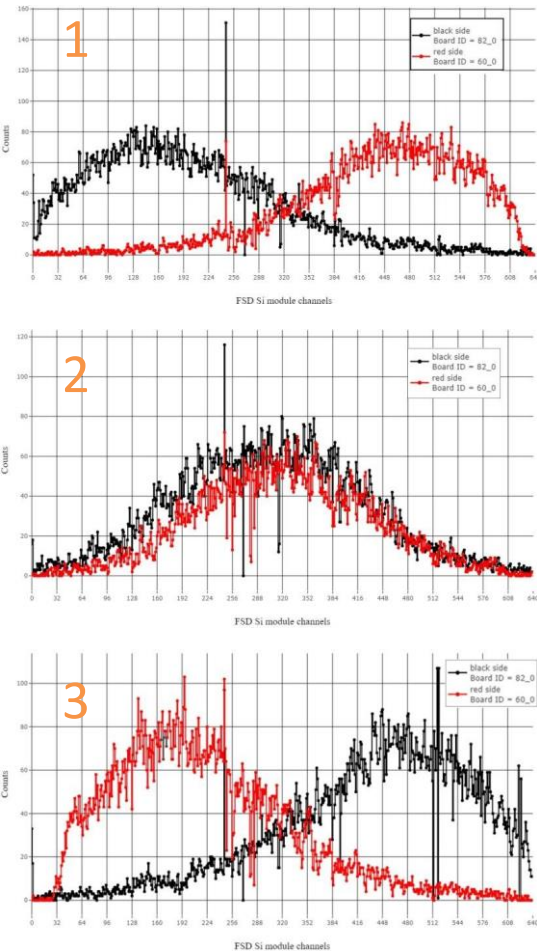
Модуль №41 после замены PCB-640(n+) полностью работоспособен, тесты проведены с β источником, 25.09.2023.



FST Si module test results

(module #41)

Occupancy distributions in FSD Si module channels
after noise supression



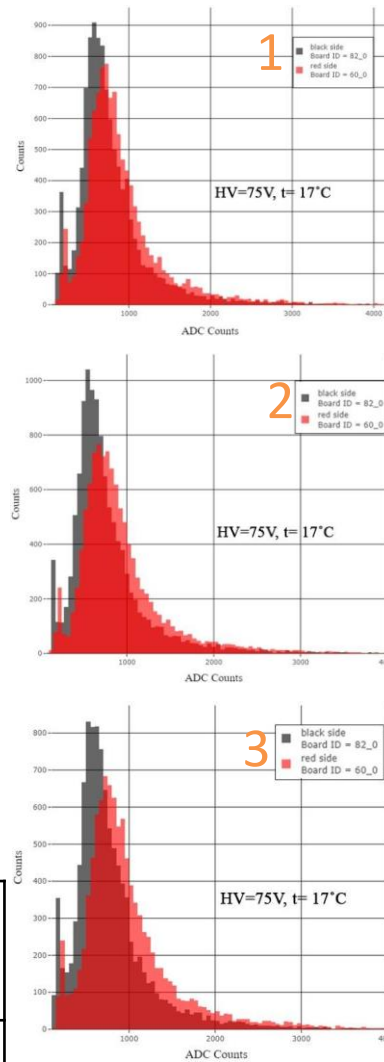
Sigma values of each FSD Si module channels at 75 V



Module view after US- Bonding detectors and PAs,
number of US- Bonding – 640, Ø Al wire – 25 μ m

$$1\text{ch. ADC}_{p^+} = 45 \text{ e}, 1\text{ch. ADC}_{n^+} = 42 \text{ e}$$

Module ID	Dark current (50V), nA	Mean noise (^{+p}), ch.ADC	Mean noise (⁺ⁿ), ch.ADC	MPV (^{+p}), ch.ADC	MPV (⁺ⁿ), ch.ADC	S/N p ⁺ side	S/N n ⁺ side	Ba d channels ratio, %
41_0	3 584,00	36,93	50,76	536,20	578,89	14,09	13,32	0,55



Silicon Detector Module

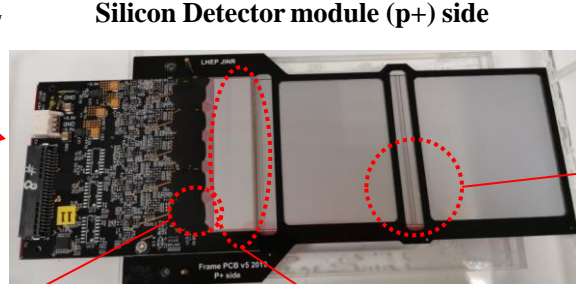


Beam pipe
hole

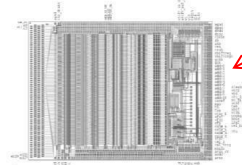


LV input
Cooling system input

Cooling system output
HV input



Outputs to DAQ



Number of CSA: 128 channels

Dynamic range: $\pm 30 \text{ fC}$

Peaking time (slow/fast shaper): 500 ns/ 50ns

Noise (ENC): $70\text{e} + 12\text{e}/\text{pF}$ (typ.)

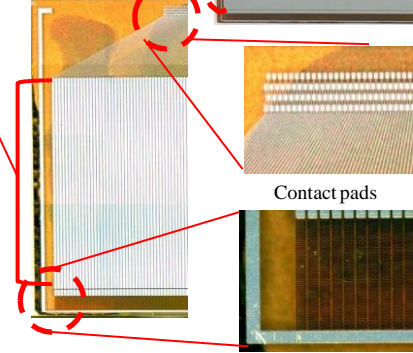
Voltage supply: +1,5 V, -2,0 V

Gain from input to output buffer: $16,5 \mu\text{A}/\text{fC}$

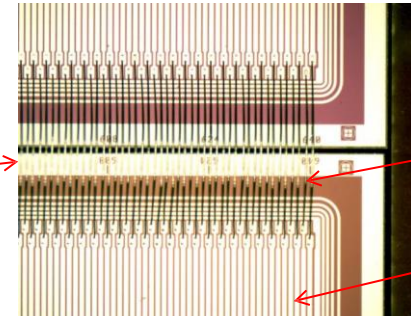
Output Serial analog multiplexer clock speed: 3,9 MHz

Power dissipation per channel: 2,2 mW

Capacitor



$63000 \mu\text{m} \pm 15 \mu\text{m}$



Ultrasonic Bonding (US- Bonding)
Al wire Ø 25 μm

p⁺implantation region

Double sided Silicon detector (p+) side

Size: $63 \times 63 \times 0,3 \text{ mm}^3$ (on 4" – FZ-Si wafers)
Topology: double sided microstrip (DSSD)

(DC coupling)

Pitch p⁺ strips: 95 μm ;

Pitch n⁺ strips 103 μm ;

Stereo angle between p⁺/n⁺ strips: 2,5°

Number of strips: $640 (\text{p}^+) \times 640(\text{n}^+)$

Development by JINR, RIMST (Zelenograd)

Manufactured by RIMST (Zelenograd)

Деинкапсуляция компаунда BE-08

Цель: удалить (растворить) отвердевший черный инкапсулянт BE-08 с платы электроники для извлечения годных чипов, без повреждения алюминиевых контактных площадок для УЗС

Инкапсулянт BE-08 - черная однокомпонентная эпоксидная смола с отверждением при повышенной t°

Пробовали следующие варианты растворителей:

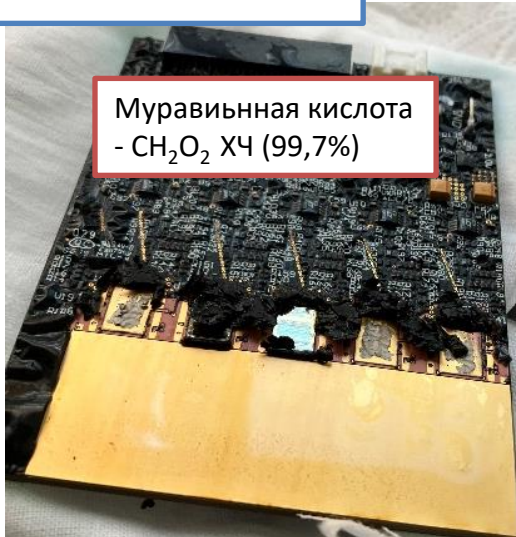
Вариант-1: диметилсульфоксид (хч) - C_2H_6SO ;

диметилформамид (хч) - C_3H_7NO ;

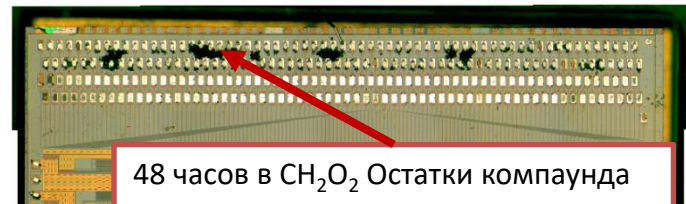
(Компаунд BE-08 разрушается очень медленно).

Вариант-2: муравьиная кислота (хч) – CH_2O_2 (99,7%)

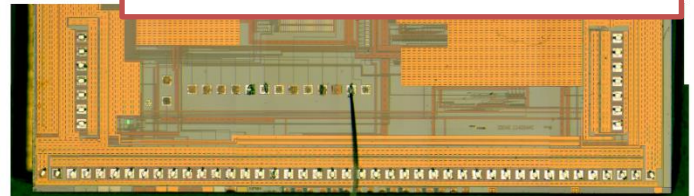
(удаляется эффективнее, но может быть травление Al контактов)



Муравьиная кислота
- CH_2O_2 ХЧ (99,7%)



48 часов в CH_2O_2 Остатки компаунда
на контактных площадках



За 76 часов в CH_2O_2 Al-растворился
на контактных площадках

Применили следующую схему:

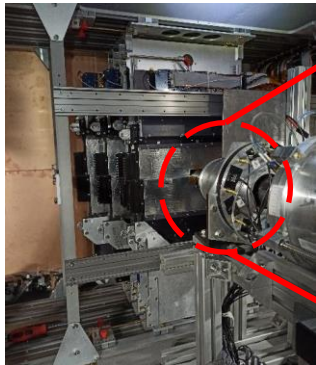
- Выдерживали 48 часов в CH_2O_2 , удаляли остатки компаунда в растворе 1:1 $C_2H_6SO + C_3H_7NO$.
- На сегодняшний день извлекли 3 чипа из 4 нерабочих плат, цель по извлечению чипов пока не достигнута!

Выводы:

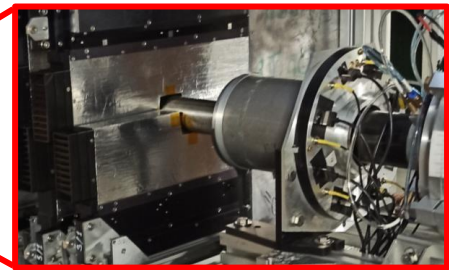
- Не удалось (пока) отработать техпроцесс по удалению компаунда с чипов бракованных плат (с целью получения запасных чипов);
- Проводится диагностика отказавших чипов (плат) по данным сезанса-2022/2023;
- Доступ к плоскостям и демонтаж модулей только при 100% уверенности причины отказа, чтобы не создать ещё более тяжелой ситуации;
- Собраны вновь (остатки чипов) 6 новых плат, за октябрь будут протестированы и будут готовы для замены дефектных плат на модулях;
- По контракту с Фотоникс-Азимут в октябре должны быть получены 30 шт. чипов (VATAGP7.2), чипы находятся в ЕАЭС (должны быть готовы ещё (5-6) новых плат);
- **План:** готовность всех 4-х плоскостей – середина декабря-2023.

Запасные слайды

Forward Silicon Detectors Configuration (BM@N 2023 – Xe run)



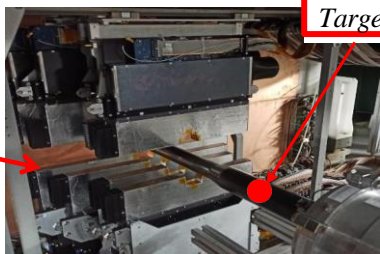
View of the FSD in the magnet SP-41 (working position)



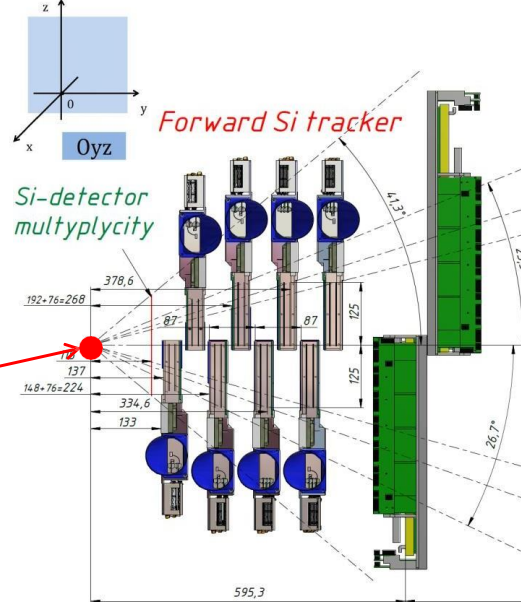
Barrel detector and target node



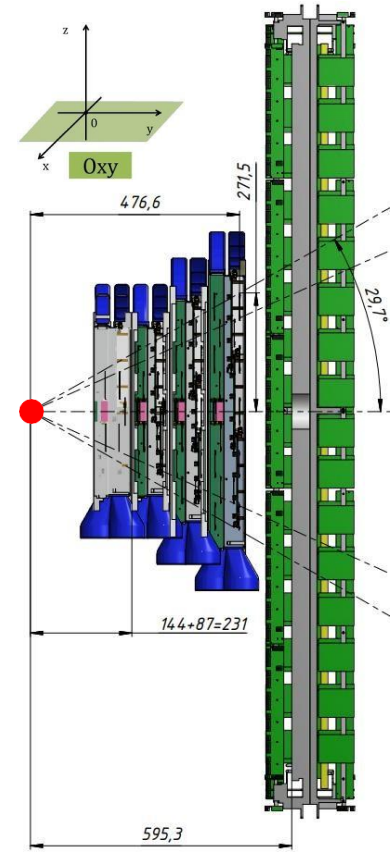
Half plane view #3



View of the FSD in the magnet SP-41



Location of FSD planes in session
2023 (side OYZ)

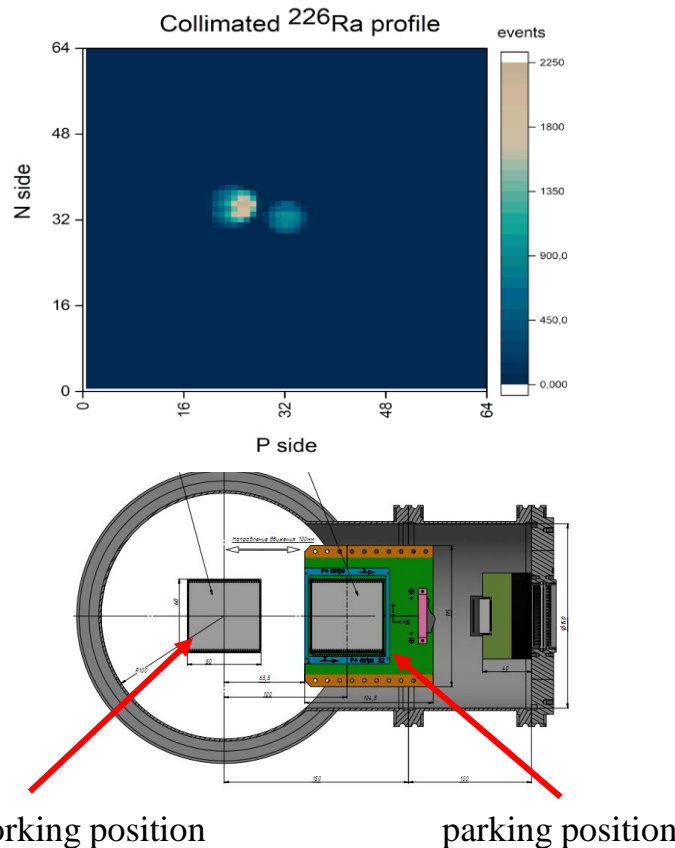


Location of FSD planes in
session 2023 (side OXY)

Planes	#0	#1	#2	#3	Total
Modules	6	10	14	18	48
Channels	7680	12800	17920	23040	53760
Area, m ²	0,035	0,073	0,102	0,132	0,307

2. Beam profilometer (two station):

- We expected beam profiles for Xe to be approximately the same shape as profiles in the tests with alpha-source ^{226}Ra , but it did not happen due to signals overlap with usage "slow" electronics (VA163) and with large area of strips (pitch = 1.87 mm);
- both profilometers were put in the "park" position and were not used in the session;
- our plans and actions: we are making a new development based on DSSD with 128x128 strips (pitch = 450 μm) and turn it to 64x64 strips (pitch=900 mkm) + new FEE based on fast chip VAHDR64



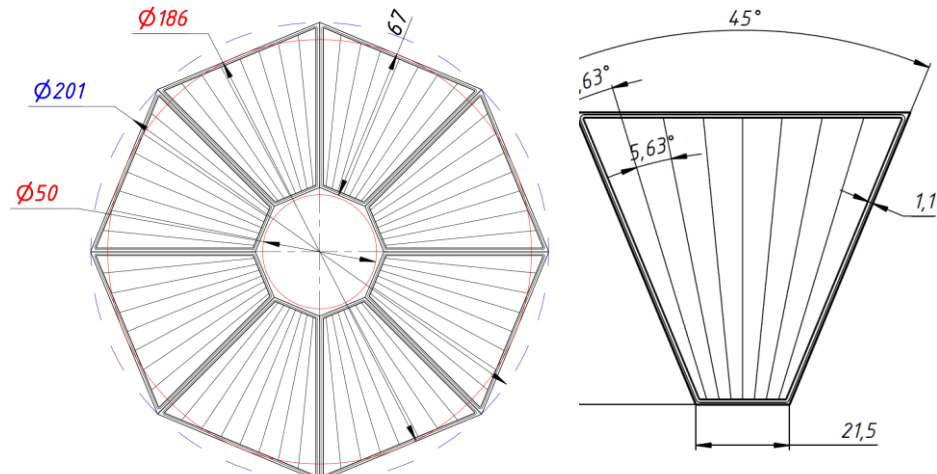
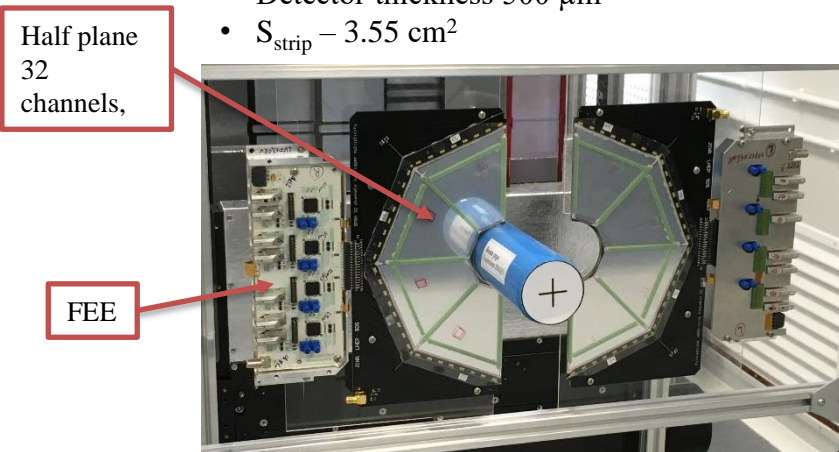
- **detector:** DSSD, ($32\text{p}^+ \times 32\text{n}^+$), strips pitch = 1.8 mm, thickness (Si) -175 μm , active area $(60 \times 60) \text{ mm}^2$;
- **mechanical design:** the plane of the profilometer is automatically removed from the beam zone to the parking position;
- **FEE:** for light (${}_6\text{C} \div {}_{18}\text{Ar}$) ions based on **VA163 + TA32cg2 (32 ch, dynamic range (DR): -750fC ÷ +750fC)** desing in progress;
- **current status:**
 - two vacuum stations with flanges and cable connectors are ready, Silicon Detectors assembled on PCBs and tested with alpha-source (5.5 MeV), autonomus **(ADC+DAQ)** subsystem ready;
 - for heavy (Kr ÷ Au) ions will be developed another version of the FEE with DR = ± 20 pC.

3. Two planes of Si-multiplicity trigger, 64 strips ϕ , pitch=5.63, detector thickness – 525 μm ($0.0056X_0$):

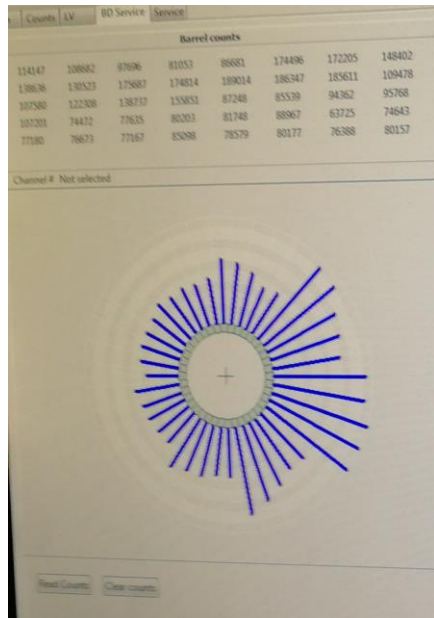
- Almost did not work in session, 16.12.2023 planes were moved away from beam pipe and were outside the beam zone;
- In the last two days of session, the detector was installed in the working position and data was recorded (did not participate in the trigger) with a beam $\text{Xe}=3.0 \text{ A}^*\text{GeV}$;
- To make a decision on further application, an analysis of the recorded data is required (there are two data streams: - a monitor with a display of noise counting and multiplicity (the indicator of equipment operation is OK!); – branching to TDC with recording measurements in DAQ, these data are in doubt

The detecting plane of the silicon trigger is assembled from 8 trapezoidal one-sided detectors:

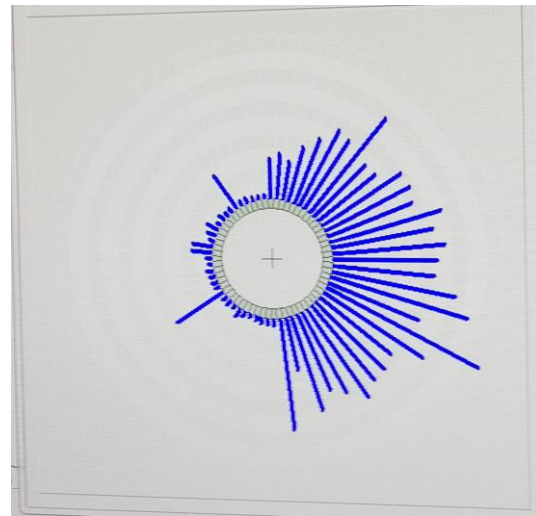
- Total 64 radial strips with 5.63° angle
- Diameter of inner hole for ion guide $\varnothing 50 \text{ mm}$ (dead zone $\varnothing 55 \text{ mm}$)
- External diameter of the sensitive zone 186mm
- Max diameter 201mm
- Detector thickness 500 μm
- $S_{\text{strip}} = 3.55 \text{ cm}^2$



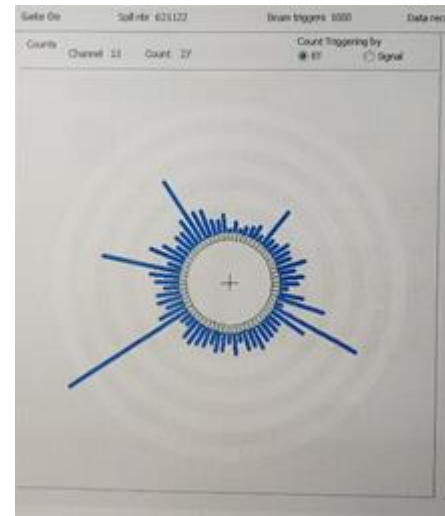
Trigger data with beam of Xe (3.0 A*GeV),



Trigger barrel
detector (BD)
counting
distribution



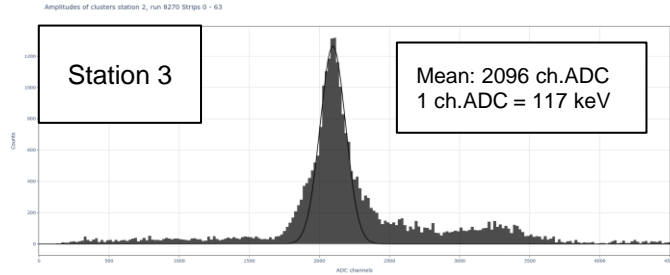
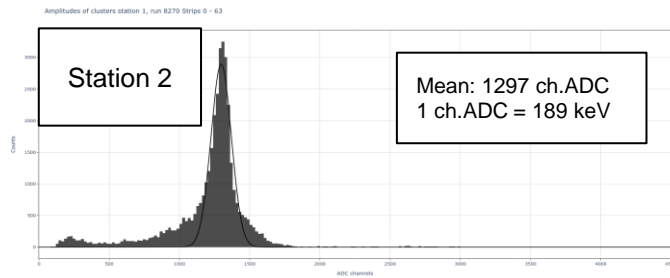
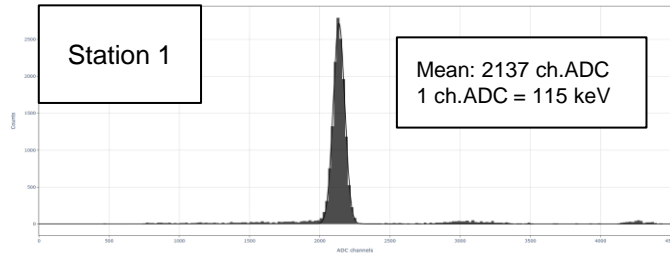
Forward part of Si-MD
counting distribution



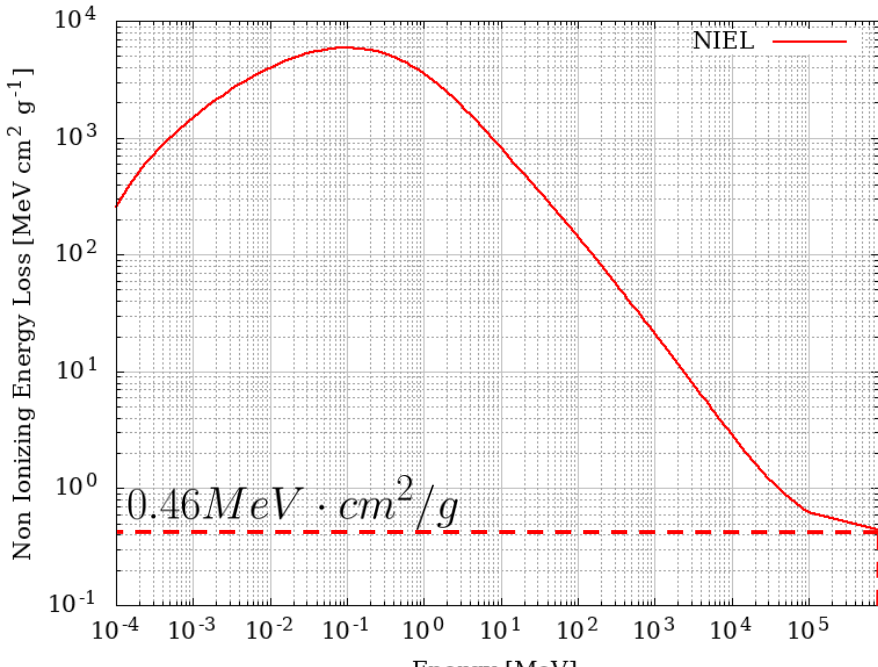
Noise distribution
of Si-MD
(without beam)

Energy deposition of Xe in 175 μm silicon

P+ side cluster amplitude distributions, run 8270



NIEL simulation of ^{124}Xe in 175 μm silicon



NIEL of Xe in 175 μm Si

BT Si detectors were installed in the most severe radiation conditions - in a direct beam of heavy xenon ions. Non-ionizing energy losses (NIEL) are used as a measure of the degree of radiation damage.

Using GEANT4 with the SR-NIEL library, NIEL of Xe in 175 μm Si values were obtained.

NIEL from 1 MeV neutron in Si (ASTM Standard E722-19):

$$NIEL_n = 0.0016 \text{ MeV} \cdot \text{cm}^2/\text{g}$$

NIEL from 4 A*GeV Xe:

$$NIEL_{Xe} = 0.458 \text{ MeV} \cdot \text{cm}^2/\text{g}$$

Hardness factor of 4A*GeV Xe:

$$NIEL_{Xe}/NIEL_n \approx 276 \Rightarrow \Phi_n = \Phi_{Xe} \cdot 276$$

ADC channel pulse with different formation time (Tp) (test signal 150 mV)

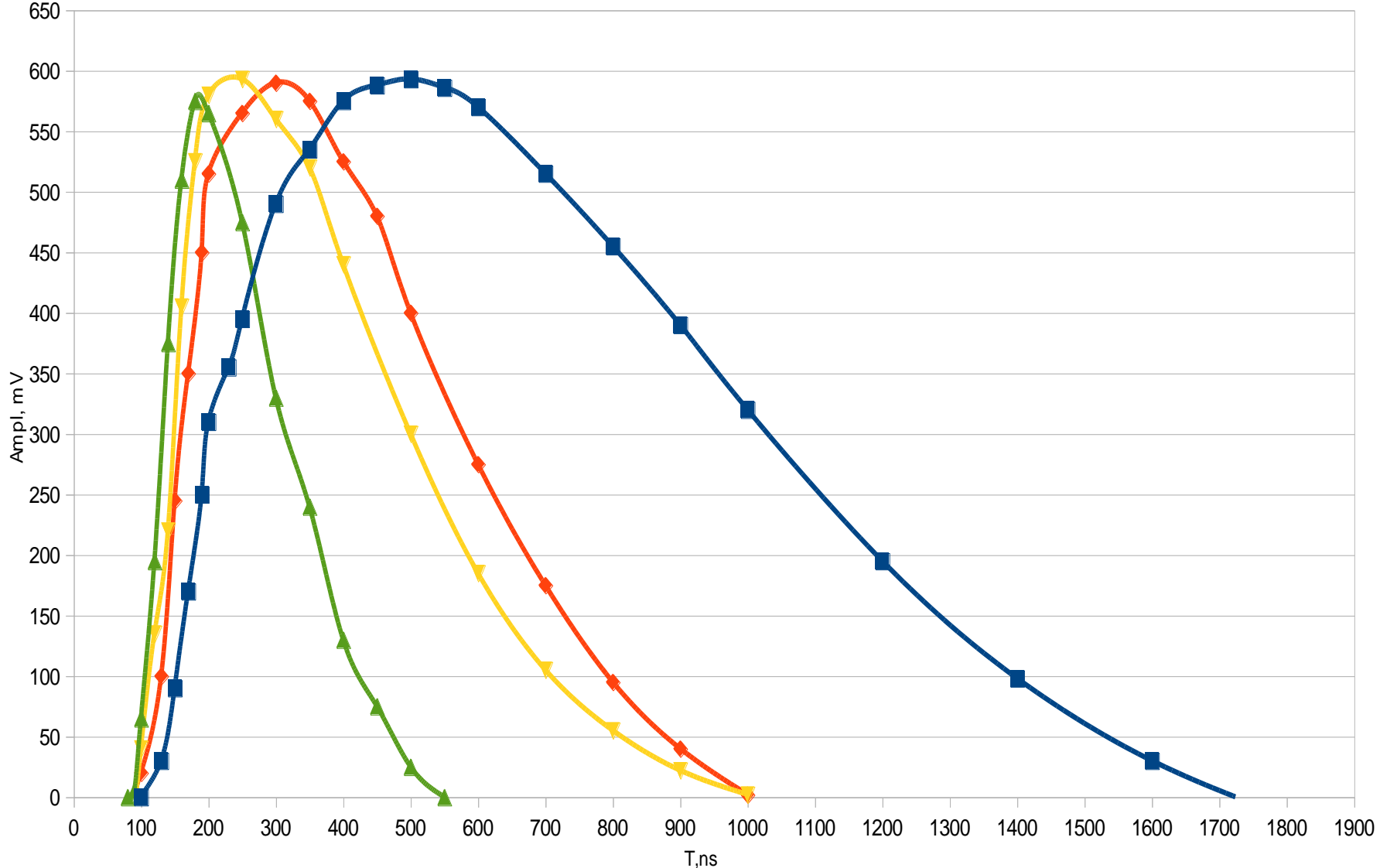
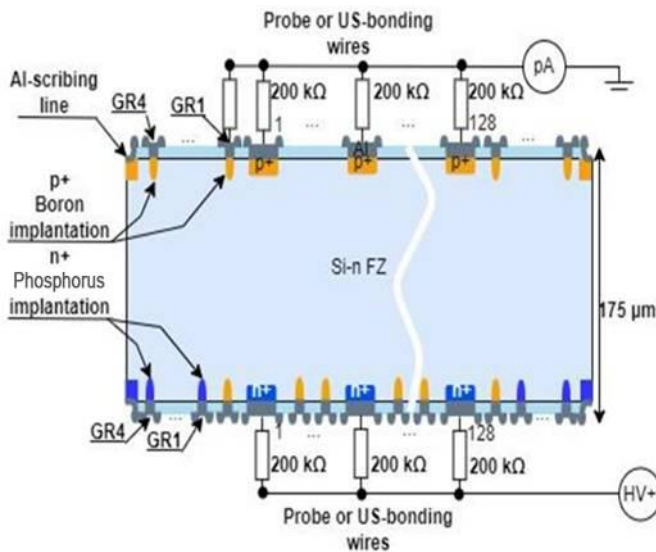
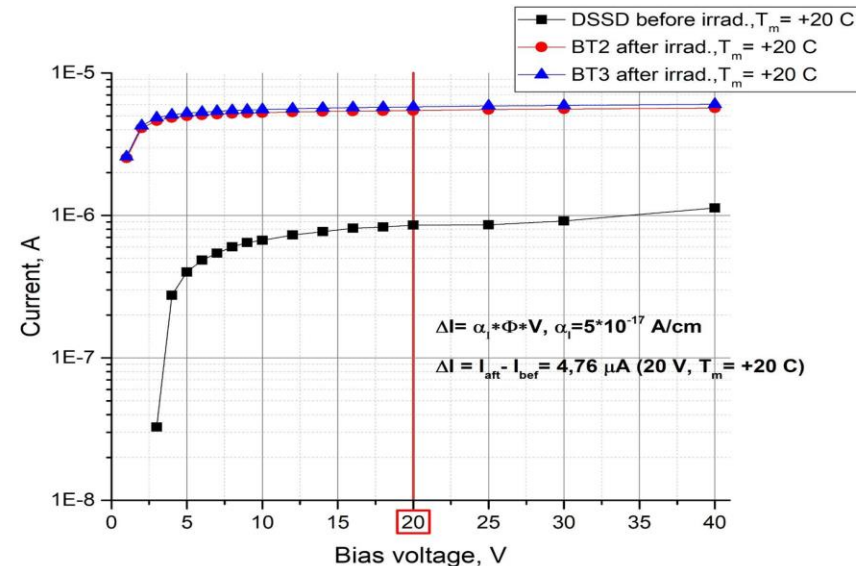


Fig.4. Pulse shape of the test signal=1.8 pCl at different tp values, HDR 64 chip(VA)



(а)



(б)

Рис.5. Схема измерений (а) темнового тока двухстороннего стрипового Si-детектора и ВАХ (б) до и после сеанса.

Формула определения эквивалентного 1МэВ флюенса нейтронов по повреждениям кремния $\Delta I = \alpha_1 \cdot \Phi \cdot V$

где: α_1 – токовая константа повреждений кремния равняется 5×10^{-17} А/см, при $+20^\circ\text{C}$ для нейтронов с энергией 1 МэВ и физически означает приращение тока в кремниевом детекторе объемом 1см^3 от прохождения одного нейтрана (1 МэВ), $\Phi, \text{см}^{-2}$ – флюенс нейтронов, $V, \text{см}^{-3}$ – объем детектора.